

# اثر اندازه بر رفتار تیرهای عمیق بتن مسلح تقویت شده با CFRP

ابوالفضل عربزاده<sup>۱\*</sup>، آرمین علی‌بخشی<sup>۲</sup>

۱. دانشیار دانشکده مهندسی عمران و محیط زیست، دانشگاه تربیت مدرس

۲. دانشجوی کارشناسی ارشد مهندسی عمران-سازه، دانشگاه تربیت مدرس

arabzade@modares.ac.ir

تاریخ پذیرش: ۱۴۰۰/۱۲/۱۵

تاریخ دریافت: ۱۴۰۰/۹/۱۱

## چکیده

معمولاً تیرهای دارای نسبت دهانه خالص به ارتفاع کمتر از ۴ به عنوان تیر عمیق بتن مسلح شناخته می‌شوند. اینگونه تیرها دارای کاربرد وسیعی در سازه‌هایی همچون سدها، مخازن، کیسون‌ها، پل‌ها و سازه‌های بلندمرتبه هستند. در این اعضای سازه‌ای به دلیل حاکمیت شکست برشی، همواره طراحی و تحلیل آنها در برابر برش مطرح بوده است؛ بنابراین تقویت و ترمیم اینگونه اعضای سازه‌ای برای بهبود مقاومت برشی همواره حائز اهمیت است و تاکنون روش‌های گوناگونی برای پیشبرد این هدف ابداع شده است. یکی از روش‌های کاربردی، استفاده از الیاف پلیمری CFRP به منظور ترمیم و تقویت تیرهای عمیق است. تحقیقات اخیر نشان دادند که تقویت تیرهای عمیق با نوار یا ورق CFRP می‌تواند منجر به بهبود مقاومت برشی و رفتار تیر عمیق شود. این مقاله به منظور بررسی تأثیر تقویت CFRP بر شدت اثر اندازه تیرهای عمیق انجام گرفته است. بدین منظور با استفاده از روش تحلیل عددی در نرم‌افزار تجاری Abaqus، ۵۳ تیر عمیق تقویت شده با CFRP به وسیله درستی‌آزمایی آزمایش‌های پیشین، مدل‌سازی و تحلیل شده‌اند. نمونه‌ها تحت بار ۲ نقطه‌ای افزایش یافته قرار گرفته و در گروه‌های ۴ عضوی با عمق‌های ۴۰۰ mm، ۶۰۰ mm و ۸۰۰ mm و تقسیم‌بندی شده‌اند. نسبت دهانه برشی به عمق مؤثر تیرهای عمیق ۱/۵، ۱ و ۱/۵ است؛ همچنین مقاومت فشاری بتن نیز از ۲۴/۸ MPa تا ۳۵ MPa متغیر بوده است. به دلیل عدم تأثیر عرض و ضخامت تیر بر شدت اثر اندازه، مقیاس ابعاد تیرها به صورت دوبعدی تغییر کرده است؛ بدین ترتیب عرض تیرها ثابت و معادل ۸۰ mm است. نتایج حاکی از آنست که تقویت تیر عمیق با زاویه‌های ۴۵ یا ۹۰ درجه به وسیله نوار یا ورق CFRP برای کاهش اثر اندازه تیرهای عمیق مناسب بوده است. از طرفی افزایش مقاومت فشاری بتن و ثابت نگه داشتن عرض ورق بارگذاری و تکیه‌گاهی منجر به افزایش اثر اندازه تیرهای عمیق شد. همچنین افزایش نسبت دهانه برشی به عمق مؤثر تیر می‌تواند در کاهش شدت اثر اندازه تیرهای عمیق تقویت شده با CFRP مؤثر باشد.

**واژگان کلیدی:** تیر عمیق، الیاف CFRP، بتن مسلح، مدل‌سازی عددی، اثر اندازه

## ۱-مقدمه

مرمت می‌شوند تا از تخریب و بازسازی آنها که هزینه‌بر است جلوگیری شود. یکی از کارآمدترین و اقتصادی‌ترین روش‌های ترمیم و مرمت این گونه سازه‌ها استفاده از الیاف CFRP است. از

بسیاری از زیرساخت‌های عمرانی از جمله سازه‌های مهندسی، برای افزایش مدت زمان بهره‌برداری و طول عمر مفید آنها بازسازی و

جمله اعضای سازه‌ای که بدین وسیله ترمیم و تقویت می‌شوند، می‌توان به تیرهای بتن مسلح عمیق اشاره نمود. تیرهای عمیق به دلیل دارا بودن عمق زیاد و دهانه کوتاه دارای رفتار برشی هستند. تیرهای عمیق نیز دارای ناپوستگی استاتیکی و یا هندسی هستند؛ در این تیرها بیشتر فاصله بین تکیه‌گاه‌ها و بارهای اعمالی از ۲ برابر ارتفاع تیر کمتر بوده و در نتیجه، کل ناحیه تیر به عنوان ناحیه ناپوسته تحلیل و طراحی می‌شود. در تیرهای عمیق، اصل سنت ونان<sup>۱</sup> که بیانگر توزیع کرنش غیرخطی می‌باشد حاکم است و بدین ترتیب طراحی آنها مانند تیرهای معمولی به صورت مقطعی صورت نمی‌گیرد [1].

از جمله آزمایش‌ها و مطالعات مهم انجام شده روی تیرهای عمیق تقویت شده با الیاف CFRP می‌توان به آزمایش‌های Li و Leung [2] در سال ۲۰۱۵ میلادی اشاره کرد. این آزمایش‌ها روی ۱۲ تیر بتن مسلح دوسر سازه با نسبت دهانه برشی به عمق مؤثر متغیر از ۱ تا ۳/۵ بوده است. آنها مشاهده کردند که تقویت تیرها با نوار CFRP منجر به افزایش مقاومت برشی و شکل‌پذیری تیرها شده و نسبت دهانه برشی به عمق مؤثر تیر در میزان بهبود مقاومت برشی تیر عمیق اثر می‌گذارند. از طرفی نسبت دهانه تیر به عمق ۲/۵ به عنوان بهینه‌ترین حالت تقویت تیر مشاهده شد. عربزاده و کریمی‌زاده [3] در سال ۲۰۱۹ آزمایش‌هایی را روی ۱۰ نمونه تیر عمیق دارای گشودگی دایروی شکل انجام دادند. این نمونه‌ها به روش EBR<sup>۲</sup> و EBROG<sup>۳</sup> تقویت شده و زاویه تقویت تیر به ترتیب ۴۵ و ۹۰ درجه بوده است. نتایج آزمایش‌ها نشان دادند، تقویت تیر عمیق با زاویه ۴۵ درجه مؤثرتر از زاویه ۹۰ درجه بوده است. با این حال، تیر عمیق در تقویت ۴۵ درجه شکست تردتری را تجربه کرد؛ همچنین افزایش مقاومت برشی در نمونه تقویت شده با روش EBROG بیشتر از روش EBR است.

در این میان، آزمایش‌هایی نیز روی اثر اندازه تیرهای عمیق بتن مسلح انجام گرفته است. اثر اندازه پدیده‌ای است که در آن میزان مقاومت نرمالیزه شده عضو (مقاومت بدون بعد) به ازای

افزایش ابعاد و اندازه عضو مذکور کاهش می‌یابد. این پدیده در اعضا با شکست ناگهانی برشی، شدیدتر بوده و نیازمند ملاحظات خاص طراحی هستند. Zhang و Tan [4] در سال ۲۰۰۷ آزمایش‌هایی را روی ۱۱ نمونه تیر عمیق با نسبت دهانه برشی به عمق مؤثر ۱/۱ انجام دادند. نمونه‌ها به ۳ گروه تقسیم شده و عمق تیرها از ۳۵۰mm تا ۱۰۰۰mm متغیر بوده است. میزان عرض نمونه‌ها در گروه دوم ثابت و معادل ۸۰mm است. در سایر گروه‌ها عرض تیرها متناسب با افزایش عمق تیر عمیق، تغییر می‌کند. این آزمایش‌ها نشان دادند که عرض تیر در اثر اندازه تیر عمیق بی‌تأثیر است؛ در حالی که وجود آرماتور جان منجر به کاهش اثر اندازه در تیر عمیق شد. همچنین ثابت شد که خروج از مرکزیت اتفاقی ناشی از بارگذاری نمی‌تواند از دلایل تشدید اثر اندازه در تیر عمیق باشد. عربزاده و نوری سولا [5] نیز مطالعات عددی و آزمایشگاهی را روی ۳۲ تیر عمیق ساخته شده با بتن سبک و معمولی انجام دادند که عمق تیرها بین ۳۰۰mm تا ۹۰۰mm متغیر بود. نتایج نشان دادند که اثر اندازه در تیرهای عمیق با بتن سبک بیشتر است و افزایش دهانه برشی تیر عمیق منجر به کاهش اثر اندازه می‌شود.

El-sayed و Shuraim [6] نیز آزمایش‌هایی را روی ۱۲ تیر عمیق با مقاومت فشاری‌های بتن ۳۰MPa، ۴۵MPa و ۷۵MPa انجام دادند. نتایج حاکی از افزایش اثر اندازه تیر عمیق به ازای افزایش مقاومت فشاری بتن بودند. Chen و همکاران [7] نیز بر اساس مطالعات عددی که روی ۵۳ مدل تیر عمیق داشتند نشان دادند، هندسه نواحی فشاری و گرهی که خود نیز وابسته به ابعاد ورق بارگذاری است، بعنوان یکی از عوامل اثر اندازه در رفتار تیر عمیق تأثیر دارد.

## ۲-هدف و روش انجام تحقیق

مروری بر پژوهش‌های گذشته نشان می‌دهد که در بیشتر مطالعات انجام گرفته در زمینه تیرهای عمیق به بررسی دقیق اثر اندازه در رفتار تیرهای عمیق تقویت شده با CFRP اشاره‌ای

<sup>۳</sup> Externally bonded reinforcement on groove

<sup>۱</sup> Saint venant principle

<sup>۲</sup> Externally bonded reinforcement

نسبت پواسون بایستی پارامترهای مشخصه مدل خرابی خمیر بتن به نرم افزار وارد شود. مقادیر پیشنهادی پارامترهای مذکور در جدول (۱) آمده است. پارامتر  $\psi$  زاویه اتساع بتن است و با نسبت کرنش حجمی به کرنش انحرافی خمیری بتن متناسب است. پاسخ تحلیل متأثر از این پارامتر بوده و مقدار آن بر اساس حساسیت سنجی به دست آمده است. پارامتر  $\sigma_{c1}$  نسبت مقاومت فشاری دو محوری به مقاومت فشاری تک محوری بتن است که مطابق تحقیقات Kupfer و همکاران معادل ۱/۱۶ است [9].  $K_c$  معادل نسبت بردار تنش انحراف آور کششی به فشاری می باشد و معمولاً مقادیر بین ۰,۶۷ تا ۱ را دارد. این پارامتر شکل تابع پتانسیل جریان خمیری را تغییر می دهد.  $e$  بیانگر خروج از مرکزیت تابع پتانسیل جریان از مجانبش است که مقدار آن معمولاً معادل ۰/۱ است [8]. پارامتر ویسکوزیته نیز زمان آسودگی ویسکو پلاستیک را نشان می دهد که به وسیله آن می توان به رفع برخی مشکلات همگرایی پرداخت. این پارامتر به دلیل به کارگیری روش تحلیل صریح معادل صفر است. پارامترهای مذکور در تمامی نمونه ها ثابت هستند.

جدول ۱. پارامترهای ثابت در مدل خرابی خمیری بتن

$\psi$	$\sigma_{c1}$	$K_c$	$e$	Viscosity parameter
45	1.16	0.67	0.1	0

Table 1. The constant parameters in concrete damaged plasticity model

### ۳-۱-۱- رفتار فشاری تک محوری بتن

برای تعریف رفتار فشاری از منحنی تنش-کرنش فشاری  $\text{Lim}$  و Ozbakkaloglu [10] استفاده شده است. این مدل که بر اساس طیف گسترده ای از نتایج آزمایش های استوانه استاندارد فشاری به دست آمده است، ضمن لحاظ کردن اثر محصورشدگی در بتن، می تواند برای تعیین منحنی تنش-کرنش فشاری بتن معمولی، سبک و پر مقاومت نیز استفاده شود. رابطه (۱) قسمت صعودی منحنی تنش-کرنش فشاری بتن را مطابق شکل (۱) ارائه می دهد.

نشده است. در این مقاله سعی شده است که به وسیله مدل سازی عددی در نرم افزار تجاری Abaqus و تحلیل نمونه ها، به بررسی اثر اندازه بر رفتار تیرهای عمیق تقویت شده با CFRP پرداخته شود. در گام اول، پارامترهای ورودی نرم افزار بر اساس نتایج درستی آزمایشی تعدادی از نمونه های آزمایش های پیشین به دست می آیند. برای منظور کردن اثر اندازه در تیر عمیق، قسمت نزولی منحنی تنش-کرنش فشاری بتن بر اساس هندسه و ابعاد ناحیه فشاری تیر اصلاح می شود. این امر منجر به تغییر انرژی شکست بتن نمی شود؛ پس منحنی تنش-تغییر مکان فشاری بتن ثابت است. پس از ساختن مدل های عددی و تحلیل آنها، خروجی نرم افزار با نتایج آزمایش های پیشین مقایسه و درستی آزمایشی شده تا بدین وسیله از درستی فرضیات مدل سازی اطمینان حاصل شود؛ در مرحله دوم با ساختن مدل های تصدیق شده در مقیاس ها و اندازه های مختلف، می توان به بررسی اثر اندازه بر رفتار تیرهای عمیق تقویت شده با CFRP پرداخت. مانند تحقیقات پیشین، به دلیل عدم تأثیر ضخامت تیر بر شدت اثر اندازه، مقیاس نمونه های مدل سازی شده به صورت دویبعدی تغییر کرده و عرض تیرها ثابت لحاظ شده است.

### ۳-۳- شبیه سازی عددی در نرم افزار Abaqus

در این مقاله از روش تحلیل دینامیک صریح ۱ موجود در نرم افزار Abaqus برای تحلیل غیرخطی مدل های عددی استفاده شده است. در این تحلیل به دلیل عدم وجود تکرار در گام های تحلیل سرعت تحلیل افزایش یافته، پس تعداد گام تحلیل افزایش می یابد. این روش همچنین می تواند برای مدل سازی مسائل شبه استاتیکی نیز استفاده شود [8].

### ۳-۱-۱- شبیه سازی رفتار بتن

برای شبیه سازی رفتار بتن، از مدل خرابی خمیری بتن ۲ یا به اختصار CDP استفاده شده است. این مدل که توسط Lubliner ارائه شده است، می تواند با لحاظ کردن پارامتر خرابی، رفتار فشاری و کششی بتن تحت بارگذاری چرخه ای و افزایش یافته را شبیه سازی کند [8]. علاوه بر تعریف مشخصات مکانیکی بتن اعم از مدول ارتجاعی و

در تیر عمیق دارد؛ به عبارت دیگر با افزایش عمق تیر عمیق، طول عضو فشاری افزایش یافته اما تغییری در طول ناحیه خرابی فشاری رخ نمی‌دهد. این نتایج در تحقیقات Jansen و Shah [11] نیز مشاهده می‌شود؛ به طوری که شاخه نزولی منحنی تنش-کرنش فشاری بتن می‌تواند تا حد زیادی به اندازه و هندسه عضو وابسته باشد. تغییر مذکور در شاخه نزولی منحنی مطابق رابطه Lim و

$$\varepsilon_d = 0.02 f'_{co}{}^{-0.5} \left( \frac{f'_{co} - f_c}{f'_{co}} \right) \quad \text{مطابق رابطه (۸) لحاظ می‌شود.} \quad (۸)$$

$$\varepsilon = \frac{(f_c - f'_{co})}{E_c} \left( 1 - \frac{H_r}{H} \right) + \varepsilon_{co} + (\varepsilon_c - \varepsilon_{co}) \frac{H_r}{H} + \varepsilon_d \frac{(H_d - H_r)}{H}$$

به طوری که  $\varepsilon_d$  و  $\varepsilon_{co}$  به ترتیب کرنش غیر ارتجاعی ناحیه خرابی و کرنش متناظر با حداکثر تنش است.  $H_d$  و  $H_r$  به ترتیب معادل ارتفاع عضو فشاری مرجع و ارتفاع ناحیه خرابی است. میزان ارتفاع ناحیه خرابی می‌تواند حدود ۲ برابر کوچک‌ترین بعد عضو فشاری باشد [10]. شکل (۲) عضو فشاری مذکور در تیر عمیق را نشان می‌دهد.

شکل ۲. هندسه عضو منشوری فشاری در تیر عمیق [12]

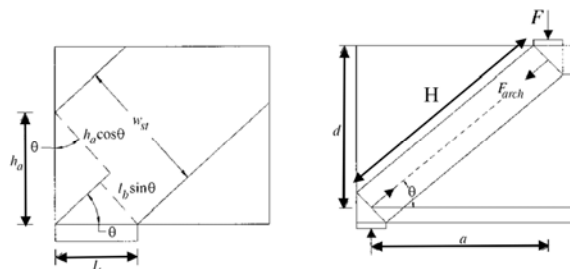


Fig. 2. The geometry of compression member in deep beam [12]

### ۳-۱-۳- رفتار کششی تک محوری بتن

در این مقاله به دلیل عدم وجود آرماتور جان در تیر، مدل عددی به دو ناحیه با سخت شوندهگی کششی در نواحی مسلح شده و نرم شوندهگی کششی در سایر نواحی فوقانی تیر تقسیم شده است. برای نرم شوندهگی کششی بتن از مدل پیشنهاد شده توسط Cornelissen و همکاران [13] استفاده شده است. این مدل غیر خطی که بر حسب تنش-تغییر مکان تعریف می‌شود، به صورت

$$f_c = \frac{f'_{co} \left( \frac{\varepsilon}{\varepsilon_{co}} \right)^r}{r - 1 + \left( \frac{\varepsilon}{\varepsilon_{co}} \right)^r} \quad (۱)$$

$$r = \frac{E_c}{E_c - \frac{f'_{co}}{\varepsilon_{co}}} \quad (۲)$$

$$\varepsilon_{co} = \frac{f'_{co}{}^{0.225 k_d}}{1000} k_s k_a \quad (۳)$$

$$E_c = 4400 \sqrt{f'_{co}} \left( \frac{\rho_c}{2400} \right)^{1.4} \quad (۴)$$

به شکلی که  $f'_{co}$  مقاومت فشاری بتن بوده و  $\varepsilon_{co}$  میزان کرنش متناظر با حداکثر تنش فشاری است (رابطه ۳). پارامترهای  $\rho_c$  و  $E_c$  به ترتیب وزن مخصوص و مدول ارتجاعی بتن هستند.  $K_s$  و  $K_a$  و  $K_d$  ثابت‌هایی هستند که بر اساس ابعاد عضو منشوری فشاری به دست می‌آیند. قسمت نزولی منحنی مطابق رابطه (۶) به دست می‌آید. در این رابطه، تنش پسماند بوده و با توجه به محصور نبودن بتن، مقدار آن معادل صفر است [10]. در رابطه (۵) پارامتر  $\varepsilon_{ci}$  کرنش متناظر با نقطه عطف منحنی است.

$$\varepsilon_{ci} = \left( 2.8 \varepsilon_{co} \left( \frac{f_{cres}}{f'_{co}} \right)^{-0.12} + 10 \varepsilon_{co} \left( 1 - \frac{f_{cres}}{f'_{co}} \right)^{-0.47} \right) f'_{co}$$

$$f_c = f'_{co} - \frac{f'_{co} - f_{cres}}{1 + \left( \frac{\varepsilon - \varepsilon_{co}}{\varepsilon_{ci} - \varepsilon_{co}} \right)^2} \quad (۵)$$

$$\quad (۶)$$

شکل ۱. مدل تنش-کرنش فشاری Lim و Ozbakkaloglu [9]

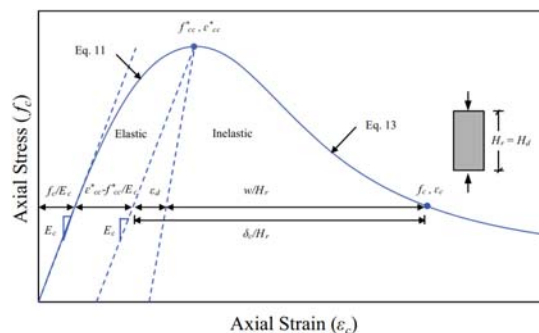


Fig. 1. The compressive stress-strain model of Lim and Ozbakkaloglu [9]

### ۳-۱-۲- اثر اندازه در منحنی تنش-کرنش فشاری

تحقیقات Tan و Zhang [4] نشان از تأثیر لاغری عضو فشاری

رابطه (۹) است.

### ۲-۳- رفتار آرماتور فولادی

در این مقاله منحنی تنش-کرنش فولاد به صورت ارتجاعی خمیری کامل تعریف شد. از طرفی آرماتورها در بتن با تکنیک ناحیه مدفون شده<sup>۱</sup> در بتن مقید شده و فرض می‌شود که هیچگونه لغزشی بین بتن و فولاد رخ نمی‌دهد [8].

### ۳-۳- رفتار CFRP

برای شبیه‌سازی رفتار نوار یا ورق تقویتی، منحنی تنش کرنش زمان شروع شکست CFRP خطی فرض شده است. با وجود یک سویه بودن الیاف در نوار تقویتی، خواص مکانیکی CFRP از قبیل مدول ارتجاعی و نسبت پواسون در حالت ارتجاعی به صورت ارتوتروپیک و مطابق جدول (۲) است [16]. این مشخصات در تمام نمونه‌های مدل‌سازی شده یکسان است.

جدول ۲. مشخصات مکانیکی مصالح CFRP

$E_{11}$ (GPa)	$E_{22}$ (GPa)	$G_{12}$ (GPa)	$G_{23}$ (GPa)	$\nu_{12}$	$\nu_{23}$
165	9.65	5.2	3.4	0.3	0.45

Table 2. The material properties of CFRP

### ۴-۳- اندرکنش بتن و CFRP

برای تعریف اندرکنش بین CFRP و بتن در آباکوس، از منحنی‌های تنش لغزش استفاده می‌شود. با فرض ناچیز بودن ضخامت چسب، این رفتار با استفاده از اندرکنش از نوع سطح چسبیده<sup>۲</sup> مدل‌سازی می‌شود. این مدل به صورت دو خطی بوده و قادر است آثار همزمان برش در تمام صفحه و تنش نرمال بر صفحه را در جدایش CFRP از بتن لحاظ کند [8]. فاز خطی یا ارتجاعی

این مدل را می‌توان در شکل (۴) مشاهده کرد. رابطه (۱۲) سختی ارتجاعی اولیه منحنی تنش لغزش را می‌دهد.

$$k_{mn} = \frac{1}{\frac{t_i}{G_i} + \frac{t_c}{G_c}} \quad (12)$$

$k_{mn}$  مؤلفه ماتریس سختی ارتجاعی چسب است. به طوری

که  $t_i$  و  $t_c$  به ترتیب ضخامت چسب و لایه بتنی زیرین چسب حین جدایش هستند و به ترتیب ۱ mm و ۵ mm فرض می‌شوند.  $G_i$  و  $G_c$  نیز مدول برشی چسب و بتن مذکور می‌باشند. مطابق شکل

$$\frac{\sigma}{f_t} = [1 + (c_1 \frac{w}{w_c})^3] e^{(-c_2 \frac{w}{w_c})} - \frac{w}{w_c} (1 + c_1^3) e^{-c_2} \quad (9)$$

$$w_c = 5.14 \frac{G_f}{f_t} \quad (10)$$

$$G_f = 1.44 (\frac{f'_c}{0.051})^{0.46} \cdot (1 + \frac{d_a}{11.27})^{0.22} \cdot (\frac{w_a}{c})^{-0.3} \quad (11)$$

به طوری که  $f_t$  مقاومت کششی بتن بوده و  $w_c$  میزان عرض ترک خوردگی در انتهای نرم شونده‌گی و نزول تنش می‌باشد. مقادیر  $c_1$  و  $c_2$  اعداد ثابتی بوده که به ترتیب معادل ۳ و ۶/۹۳ هستند.  $G_f$  انرژی شکست بتن بوده و مطابق رابطه (۱۱) پیشنهادی Bazant و Becq-giraudon [14] محاسبه می‌شود. در رابطه (۱۱) پارامترهای  $c$  و  $d_a$  به ترتیب نسبت آب به سیمان و حداکثر قطر سنگدانه بتن هستند.

### ۴-۱-۳- رفتار سخت‌شوندگی کششی بتن

در ناحیه مسلح شده با آرماتور طولی، به دلیل وجود اندرکنش بین بتن و فولاد، بتن پس از ترک خوردگی به باربرداری ادامه داده و سختی خود را حفظ می‌کند. برای تعریف رفتار سخت‌شوندگی بتن از مدل تنش-کرنش اصلاح شده Nayal و Rasheed [15] استفاده شده است. شاخه نزولی این منحنی مطابق شکل (۳) سه خطی بوده و برای حصول همگرایی حدود ۱۰٪ مقاومت کششی معادل تنش پسماند است.

شکل ۳. مدل سخت‌شوندگی کششی Nayal و Rasheed [15]

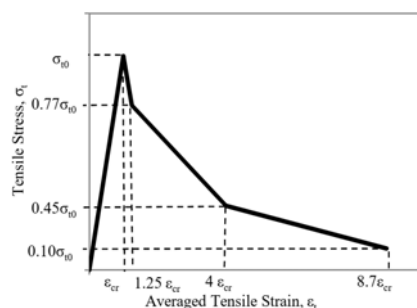


Fig. 3. The tension stiffening model of Nayal and Rasheed [15]

<sup>۲</sup> Cohesive surface

<sup>۱</sup> Embedded region

#### ۴-درستی آزمایشی مدل‌های عددی

برای درستی آزمایشی مدل‌های عددی، از نتایج سه آزمایش پیشین استفاده شده است که نتایج آن در جدول (۴) آورده شده است. اولین درستی آزمایشی مربوط به دو نمونه تیر عمیق با عمق‌های ۵۰۰mm و ۷۰۰mm از آزمایش‌های Zhang و Tan [4] 2DB50 است. این دو نمونه تقویت نشده با نام‌های اختصاری 2DB70 و 2DB70 بوده‌اند. دومین درستی آزمایشی مربوط به آزمایش‌های Obaidat [16] است که شامل تیر تقویت شده با نوار CFRP می‌باشد و این نمونه با نام اختصاری RB 90/300 بوده است. سومین نمونه مربوط به تیر عمیق تقویت شده با زاویه ۴۵ درجه از آزمایش‌های اصغری و همکاران [18] با نام اختصاری CONa-DW(C) است. جدول (۳) مشخصات مصالح نمونه‌ها را نشان می‌دهد.

جدول ۳. مشخصات مصالح نمونه‌های درستی آزمایشی شده [16]

Title	$E_c$ (MPa)	$f_t$ (MPa)	$f_{co}$ (MPa)	$G_f$ (N/m)	Steel rebars
2DB50	25045	2.71	32.4	99.2	2φ10 2φ13
2DB70	21911	2.37	24.8	87.7	2φ13 2φ16
RB 90/300	19063	2.61	30	93	2φ18
CONa- DW(C)	22000	2.52	25	89	4φ16

**Table 3.** The material properties of validated specimens [16]

در تمامی نمونه‌ها، اثر اندازه مطابق بخش (۵-۲-۲) در شاخه نزولی منحنی تنش-کرنش فشاری بتن اعمال شده است. بدین منظور، هندسه ناحیه فشاری تیرهای عمیق باید محاسبه شود. شکل (۵) هندسه عضو فشاری یکی از نمونه‌های درستی آزمایشی را نشان می‌دهد.

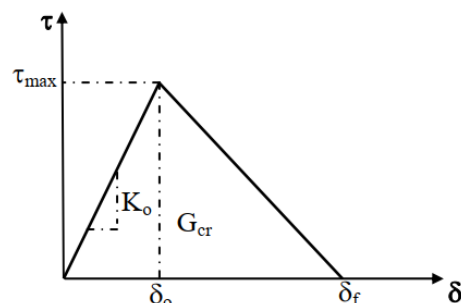
می‌توان از رابطه (۱۳) برای تعیین شروع خرابی چسب استفاده کرد [8]. در این معیار، تنش حداکثر نرمال  $t_{n0}$  معادل مقاومت کششی بتن لحاظ شده و تنش‌های حداکثر برشی  $t_{s0}$  و  $t_{t0}$  را می‌توان حدود ۱/۵ MPa فرض کرد [16].

$$\left(\frac{t_n}{t_{n0}}\right)^2 + \left(\frac{t_s}{t_{s0}}\right)^2 + \left(\frac{t_t}{t_{t0}}\right)^2 = 1 \quad (13)$$

فرایند خرابی چسب در این تحقیق با استفاده از معیار Benzeggagh و Kenane [17] مطابق رابطه (۱۴) است.  $G_{Ic}$  انرژی شکست مد اول بوده و معادل انرژی شکست بتن است و  $G_{IIc}$  انرژی شکست مد دوم بوده و معادل  $90 \cdot N/m$  در نظر گرفته می‌شود. ضریب  $\eta$  نیز معادل ۱/۴۵ است [16].  $G_T$  و  $G_{II}$  بر اساس انرژی شکست مد اول و دوم شکست، در هر لحظه از جدایش چسب محاسبه می‌شوند.

$$G_{Ic} + (G_{IIc} - G_{Ic}) \left\{ \frac{G_{II}}{G_T} \right\}^\eta = G \quad (14)$$

شکل ۴. مدل تنش-لغزش برای اندرکنش بتن و CFRP [16]



**Fig. 4.** The stress-slip model for concrete and CFRP interaction [16]

#### ۳-۵-المان‌های مدل‌سازی عددی

در این مقاله برای مدل‌سازی بتن از المان هشت‌گرهی آجری با نام اختصاری C3D8R استفاده شد. همچنین برای شبیه‌سازی CFRP از المان پوسته‌ای با نام S4R استفاده شده است. برای مدل‌سازی آرماتورهای فولادی برای شبیه‌سازی بهتر رفتار شاخه‌های آرماتورها، از المان دو گرهی B31 استفاده شده است [8].

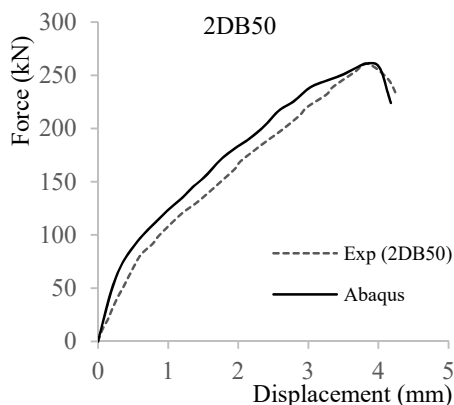


Fig. 7. The force-displacement curves of Zhang and Tan specimens in numerical analysis

مانند شکل (۷) در شکل (۸) نیز منحنی نیرو-تغییر مکان حاصل از تحلیل عددی با نتیجه آزمایش‌ها همخوانی دارد. شکل (۹) خرابی چسب اپوکسی زیر نوار تقویتی را نشان می‌دهد که با نتایج آزمایش‌ها Obaidat [16] هماهنگی دارد. در جدول (۴) پارامترهای  $V_{exp}$  و  $V_{fem}$  به ترتیب مقاومت برشی حاصل از نتایج آزمایشگاهی و تحلیل عددی بوده و  $\Delta$  نیز تغییر مکان نهایی تیر است. میانگین و انحراف از معیار نتایج عددی نیز در جدول (۵) آمده است. با توجه به نتایج، مقادیر حاصل از خروجی عددی کمتر از ۱۰٪ با نتایج آزمایش‌ها اختلاف دارند که نشان از درستی فرضیات عددی می‌دهد. برای یافتن بهینه‌ترین اندازه المان‌ها، حساسیت‌سنجی انجام شده و اندازه المان‌های بتن، فولاد و CFRP در تمامی نمونه‌ها معادل ۳۰ mm است.

شکل ۸. منحنی نیرو-تغییر مکان نمونه RB 90/300 در تحلیل عددی

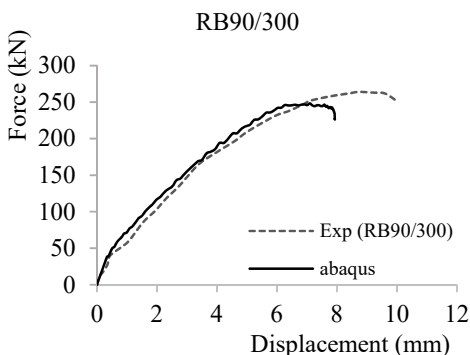


Fig. 8. The force-displacement curves of specimen RB90/300 in numerical analysis

شکل ۵. ابعاد محاسبه شده عضو منشوری فشاری در تیر 2DB50

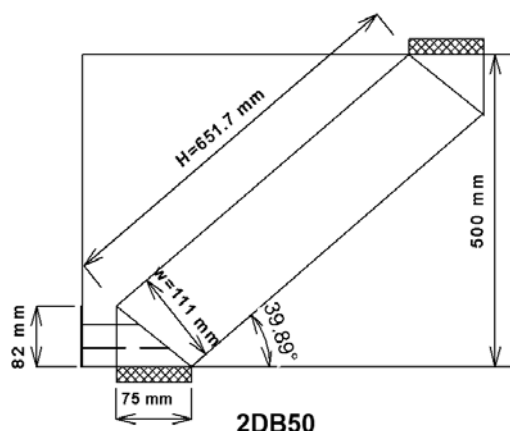


Fig. 5. The calculated dimensions of prismatic compression member in specimen 2DB50

شکل ۶. منحنی تنش کرنش فشاری بتن نمونه 2DB50 با اثر اندازه

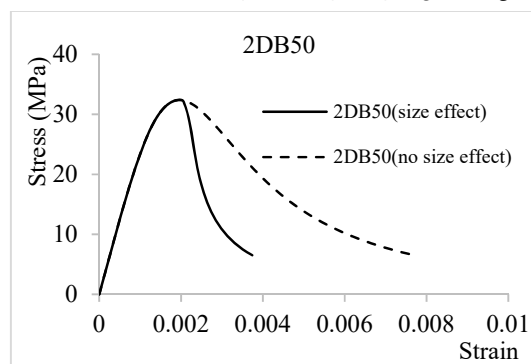
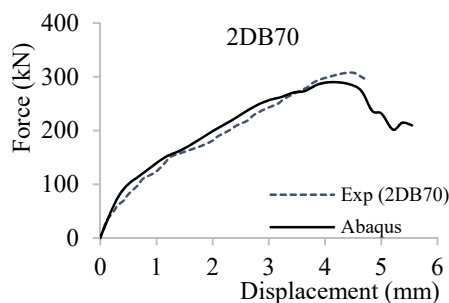


Fig. 6. The compression stress-strain curve of specimen 2DB50 with size effect

همان گونه که در شکل (۶) مشخص است، با اعمال اثر اندازه، شیب ناحیه نزولی افزایش داشته است که این امر ناشی از ثبات طول ناحیه خرابی فشاری با افزایش عمق تیر است. شکل (۷) نشان از هماهنگی میان منحنی نیرو-تغییر مکان حاصل از تحلیل عددی و نتیجه آزمایش‌های Zhang و Tan [4] دارد.

شکل ۷. منحنی نیرو-تغییر مکان نمونه‌های Tan و Zhang در تحلیل عددی



مطابق نمونه‌های درستی‌آزمایی شده مدل شده است. این نمونه‌ها به گروه‌های ۴ عضوی با عمق‌های ۶۰۰mm، ۷۰۰mm، ۸۰۰mm و ۱۰۰۰mm مطابق شکل (۱۰) تقسیم می‌شوند. در این بخش همچنین به بررسی اثر پارامترهایی همچون نسبت دهانه برشی به عمق مؤثر، زاویه تقویت تیر، مقاومت فشاری بتن و عرض ورق بارگذاری بر روی میزان اثر اندازه تیر عمیق پرداختیم. برای این منظور نسبت دهانه برشی به عمق مؤثر تیرها شامل مقادیر ۰/۵، ۱ و ۱/۵ بوده و مقاومت فشاری بتن شامل مقادیر ۲۴/۸MPa و ۳۰MPa و ۳۵MPa است. زاویه تقویت تیر ۴۵ درجه یا ۹۰ درجه و یا فاقد تقویت می‌باشد. چگونگی نامگذاری نمونه‌های مذکور پنج بخشی و به صورت DB-P-S-C-W است. DB نشانگر عمق تیر است. P بیانگر نسبت دهانه برشی به عمق مؤثر تیر است؛ S به ترتیب نمایانگر زاویه تقویت تیر و مقاومت فشاری بتن می‌باشد. تیرهای دارای حروف SC بیانگر تیرهای فاقد تقویت است. حرف W در صورت وجود، بیانگر نمونه با عرض ورق بارگذاری ثابت ۶۰mm می‌باشد. درصد آرماتورهای طولی در تمامی تیرها معادل  $\sqrt{f_c}/4$  است. برای بررسی اثر اندازه، از مقاومت برشی نرمالیزه شده  $V_{fem}/b.h.f'_c$  استفاده شده است.  $V_{fem}$  مقاومت نیرویی تیر است؛ و  $h$  و  $b$  به ترتیب عرض و عمق تیر می‌باشند.

شکل ۱۰. هندسه تیرهای عمیق مدلسازی شده در نرم‌افزار Abaqus

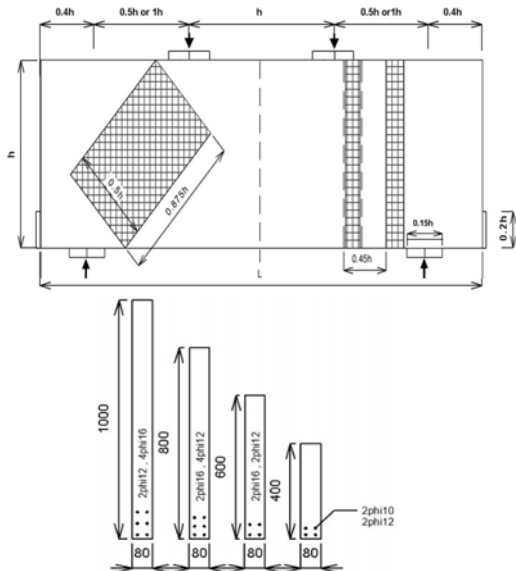


Fig. 10. The geometry of deep beams modelled in Abaqus software

شکل ۹. محل وقوع جدایش نوار تقویتی در تیر تقویت شده [16]

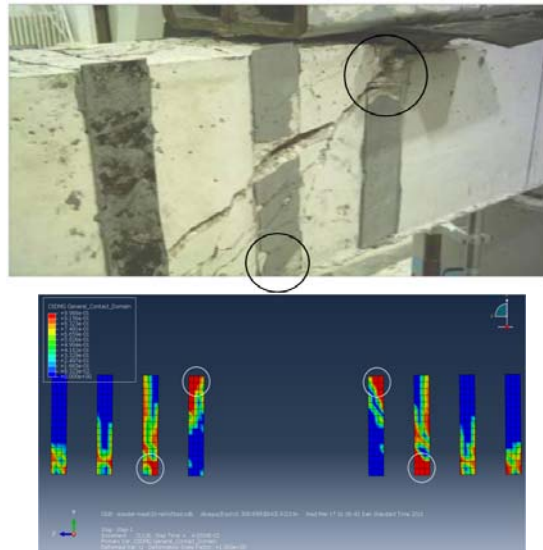


Fig. 9. The location of CFRP strips debonding on the strengthened beam [16]

جدول ۴. مقایسه نتایج تحلیل عددی با نتایج آزمایشگاهی

Title	$V_{ex}$ (kN)	$V_{fem}$ (kN)	$\Delta_{exp}$ (mm)	$\Delta_{fem}$ (mm)
2DB50	271	261	3.84	3.83
2DB70	311	289	4.45	4.06
RB90/300	270	248	8.72	7.09
CONa-DW(C)	528	478	3.11	3.13

Table 4. The comparison of the numerical analysis and experimental results

جدول ۵. میانگین و انحراف از معیار نتایج تحلیل عددی

Title	$V_{fem}/\Delta_{exp}$	$V_{fem}/V_{exp}$
2DB50	0.99	0.96
2DB70	0.91	0.93
RB90/300	0.81	0.92
CONa-DW(C)	1.01	0.90
<b>Average</b>	0.93	0.93
<b>Standard deviation</b>	0.091	0.025

Table 5. The average and standard deviation of numerical analysis results

۵- بررسی اثر اندازه در تیرهای عمیق تقویت شده

با توجه به درستی نتایج تحلیل عددی در بخش درستی‌آزمایی، باید به بررسی اثر اندازه در تیر عمیق تقویت شده پرداخت. برای این منظور تعداد ۵۳ نمونه تیر عمیق تقویت شده با CFRP



## ۶- نتایج

## ۱-۶- زاویه تقویت تیر عمیق

با توجه به جدول (۶) نمونه‌های تقویت شده با زاویه ۹۰ درجه و نسبت دهانه برشی به عمق مؤثر ۰/۵ نسبت به نمونه‌های فاقد تقویت، دارای اثر اندازه کمتری بوده‌اند؛ به طوری که با افزایش عمق تیر DB400-P0.5-S90-C24.8 تا ۱۰۰۰mm، مقاومت نرمالیزه شده ۱۱٪ کاهش یافته است؛ اما با افزایش عمق نمونه فاقد تقویت DB400-P0.5-SC-C24.8، مقاومت نرمالیزه شده ۱۶٪ کاهش داشته است. تقویت نمونه‌ها با زاویه ۴۵ درجه مانند تقویت ۹۰ درجه تأثیر مثبتی در کاهش میزان اثر اندازه داشته است. به صورتی که با افزایش عمق تیر DB400-P0.5-S45-C24.8 تا ۱۰۰۰mm، مقاومت نرمالیزه شده ۱۲٪ کاهش یافته است که این امر نشان از ۴٪ کاهش اثر اندازه دارد. این پدیده در نمونه‌های دارای عرض ورق بارگذاری ثابت نیز قابل مشاهده است. علت این امر را می‌توان افزایش طول پیوند

مؤثر نوار تقویتی در تیر دانست؛ این پارامتر می‌تواند باعث افزایش تنش در نوار تقویتی و در نتیجه افزایش اضافه مقاومت برشی تیر شود و به عواملی همچون مدول ارتجاعی، ضخامت، عرض و طول نوار CFRP بستگی دارد [18]. بدین ترتیب با افزایش ابعاد تیر و نوار CFRP، میزان اضافه مقاومت برشی در تیر افزایش می‌یابد. به طوری که تیر تقویت شده DB400-P0.5-S90-C24.8 دارای ۵٪ اضافه مقاومت برشی است؛ اما با افزایش ابعاد تیر، نمونه DB800-P0.5-S90-C24.8 دارای ۲۲٪ اضافه مقاومت است؛ این امر در نهایت باعث کاهش اثر اندازه شده است. از آنجایی که در تقویت ۴۵ درجه، نوار CFRP عمود بر راستای ترک بوده و از بازشدگی ترک برشی ممانعت بیشتری می‌کند، نمونه‌های تقویت شده با این زاویه دارای بیشترین مقاومت برشی و تغییرشکل نهایی بوده و حداکثر ۵۸٪ اضافه مقاومت داشته‌اند.

جدول ۶. نتایج تحلیل عددی نمونه‌های دارای نسبت دهانه برشی به عمق مؤثر ۰/۵

Title of specimen	$V_{fem}$ (kN)	Ultimate Displacement (mm)	Resistance due to CFRP (kN)	$b.h.f'_c$
DB400-P0.5-SC-C24.8	232.28	1.13	-	0.290
DB600-P0.5-SC-C24.8	365.97	1.54	-	0.305
DB800-P0.5-SC-C24.8	369.92	1.41	-	0.248
DB1000-P0.5-SC-C24.8	487.08	1.49	-	0.243
DB400-P0.5-S90-C24.8	244.07	1.22	11.79	0.305
DB600-P0.5-S90-C24.8	344.39	1.31	21.58	0.278
DB800-P0.5-S90-C24.8	452.36	1.57	82.44	0.283
DB1000-P0.5-S90-C24.8	541.42	1.79	54.34	0.271
DB400-P0.5-S45-C24.8	353.2	1.31	120.92	0.440
DB600-P0.5-S45-C24.8	501.63	1.97	135.66	0.418
DB800-P0.5-S45-C24.8	747.77	2.11	277.85	0.405
DB1000-P0.5-S45-C24.8	771.89	2.43	284.81	0.386
DB600-P0.5-SC-C24.8-w	266.98	1.03	-	0.222
DB800-P0.5-SC-C24.8-w	290.43	0.91	-	0.181
DB1000-P0.5-SC-C24.8-w	331.15	1.1	-	0.165
DB600-P0.5-S90-C24.8-w	342.54	1.32	75.56	0.285
DB800-P0.5-S90-C24.8-w	389.13	1.47	98.7	0.243
DB1000-P0.5-S90-C24.8-w	423.36	1.59	92.21	0.212
DB600-P0.5-S45-C24.8-w	478.02	1.65	211.04	0.398
DB800-P0.5-S45-C24.8-w	565.65	2.04	275.22	0.353
DB1000-P0.5-S45-C24.8-w	598.52	1.83	267.37	0.299

Table 6. The numerical analysis results of specimens with shear span to effective depth ratio of 0.5

\ Effective bond length

### ۶-۲- مقاومت فشاری بتن

در جدول (۸) می‌توان ملاحظه کرد که افزایش مقاومت فشاری بتن، منجر به افزایش اندکی در اثر اندازه تیرهای تقویت شده دارد؛ به گونه‌ای که با افزایش عمق تیر DB400-P1-S90-C24.8 تا ۱۰۰۰mm، میزان کاهش مقاومت نرمالیزه شده حدود ۱۰٪ می‌باشد و با افزایش عمق تیر DB400-P1-S90-C35، مقاومت نرمالیزه شده ۱۴٪ کاهش یافت. علت این امر را می‌توان در شاخه نزولی منحنی تنش-کرنش فشاری بتن یافت؛ به طوری که با افزایش مقاومت فشاری بتن، شیب قسمت نزولی منحنی تنش کرنش بتن افزایش یافته و اثر اندازه در تیر عمیق تشدید یافته است. همچنین نتایج نشان می‌دهند که با افزایش مقاومت فشاری بتن، میزان اضافه مقاومت برشی ناشی از تقویت CFRP افزایش یافته است؛ به عنوان نمونه DB1000-P1-S90-C24.8-W تنها دارای ۶۷/۴kN اضافه مقاومت است؛ در صورتی که مقدار اضافه مقاومت در تیر DB1000-P1-S90-C35-W حدود ۵۸/۷ kN می‌باشد. دلیل این امر را می‌توان افزایش مقاومت کششی لایه بتنی زیر نوار CFRP هنگام جدایش توصیف کرد. زیرا برای تعریف مقاومت چسب اپوکسی در نرم افزار از مقاومت کششی بتن استفاده شده است.

### ۶-۳- نسبت دهانه برشی به عمق مؤثر تیر

همان‌گونه که در جداول (۶ و ۷) مشاهده می‌شود، افزایش دهانه برشی در تیرهای با نسبت دهانه برشی به عمق مؤثر ۰/۵ و عرض ورق بارگذاری ثابت، سبب شده است که اثر اندازه کاهش یابد. برای نمونه با افزایش عمق نمونه DB400-P0.5-SC-

C24.8 تا ۱۰۰۰ mm، مقاومت نرمالیزه شده ۴۳٪ کاهش یافت؛ درحالی که با افزایش عمق تیر DB400-P1.5-SC-C24.8 تا ۱۰۰۰ mm، مقاومت نرمالیزه ۱۷٪ کاهش یافت. از طرفی با افزایش دهانه برشی، ملاحظه می‌شود که در نمونه‌های تقویت شده با زاویه ۹۰ درجه، CFRP توانایی خود را در کاهش اثر اندازه تیر عمیق به طور تدریجی از دست می‌دهد. برای نمونه در نمونه‌های با عرض ورق بارگذاری ثابت، با افزایش عمق تیر DB400-P0.5-S90-C24.8 تا ۱۰۰۰mm، مقاومت نرمالیزه شده ۳۰٪ کاهش یافت که این امر نشانگر ۱۳٪ کاهش در اثر اندازه نسبت به نمونه تقویت نشده است. بدین ترتیب در نمونه‌های تقویت شده با نسبت دهانه برشی به عمق مؤثر ۱، ۶٪ کاهش اثر اندازه مشاهده شده و در نمونه‌هایی با نسبت دهانه برشی به عمق ۱/۵، کاهش در اثر اندازه مشاهده نمی‌شود. این امر می‌تواند ناشی از تغییر زاویه ترک برشی باشد. به طوری که با افزایش دهانه برشی در نمونه با عمق ۴۰۰mm، زاویه ترک برشی نسبت به افق کمتر شده و نوار CFRP از باز شدن ترک ممانعت می‌کند؛ در نتیجه میزان اضافه مقاومت برشی ناشی از CFRP افزایش می‌یابد. این درحالیست که افزایش دهانه تأثیری در اضافه مقاومت نمونه‌های مرتفع تر نداشته است. به عنوان مثال در نمونه DB400-P0.5-S90-C24.8 دارای ۵٪ اضافه مقاومت و نمونه DB400-P1.5-S90-C24.8 دارای ۲۳٪ اضافه مقاومت برشی است.

جدول ۷. نتایج تحلیل عددی نمونه‌های دارای نسبت دهانه برشی به عمق مؤثر ۱/۵

Title of specimen	$V_{fem}$ (kN)	Ultimate displacement (mm)	Resistance due to CFRP (kN)	$\bar{b}.h.f'_c$
DB400-P1.5-SC-C24.8	147.31	3.33	-	0.184
DB600-P1.5-SC-C24.8-w	204.3	4.09	-	0.170
DB800-P1.5-SC-C24.8-w	220.9	4.14	-	0.138
DB1000-P1.5-SC-C24.8-w	277.75	5.27	-	0.139
DB400-P1.5-S90-C24.8	180.71	4.08	33.4	0.226
DB600-P1.5-S90-C24.8-w	246	5.24	41.7	0.205
DB800-P1.5-S90-C24.8-w	296.5	5.99	75.6	0.185
DB1000-P1.5-S90-C24.8-w	303.55	5.23	25.8	0.152

Table 8. The numerical analysis results of specimens with shear span to effective depth ratio of 1.5

جدول ۸. نتایج تحلیل عددی نمونه‌های دارای نسبت دهانه برشی به عمق مؤثر ۱

Title of specimen	V <sub>fem</sub> (kN)	Ultimate displacement (mm)	Resistance due to CFRP (kN)	b.h.f' <sub>c</sub>
DB400-P1-SC-C24.8	192.15	1.96	-	0.240
DB600-P1-SC-C24.8-w	272.74	2.91	-	0.227
DB800-P1-SC-C24.8-w	318.92	3.29	-	0.199
DB1000-P1-SC-C24.8-w	398.02	3.38	-	0.199
DB400-P1-S90-C24.8	198.69	2.07	6.54	0.248
DB600-P1-S90-C24.8-w	291.50	2.84	18.76	0.243
DB800-P1-S90-C24.8-w	378.39	3.71	59.47	0.236
DB1000-P1-S90-C24.8-w	444.45	3.87	46.45	0.222
DB400-P1-SC-C30	203.38	1.88	-	0.212
DB600-P1-SC-C30-w	287.43	2.61	-	0.200
DB800-P1-SC-C30-w	343.68	2.60	-	0.179
DB1000-P1-SC-C30-w	428.97	4.13	-	0.179
DB400-P1-S90-C30	213.74	2.11	10.36	0.223
DB600-P1-S90-C30-w	335.59	3.09	48.16	0.233
DB800-P1-S90-C30-w	394.60	3.55	50.92	0.205
DB1000-P1-S90-C30-w	467.05	3.74	38.08	0.195
DB400-P1-SC-C35	231.71	2.18	-	0.206
DB600-P1-SC-C35-w	308.02	2.64	-	0.183
DB800-P1-SC-C35-w	369.71	2.82	-	0.165
DB1000-P1-SC-C35-w	449.22	3.63	-	0.160
DB400-P1-S90-C35	235.31	2.22	3.6	0.210
DB600-P1-S90-C35-w	347.70	3.10	39.68	0.206
DB800-P1-S90-C35-w	431.07	3.88	61.36	0.192
DB1000-P1-S90-C35-w	507.90	4.81	58.68	0.181

Table. 7. The numerical analysis results of specimens with shear span to effective depth ratio of 1

## ۶-۴- عرض ورق بارگذاری و تکیه گاهی

در جدول (۶) با ثابت نگه داشتن عرض ورق بارگذاری، ملاحظه می‌شود که در نمونه‌های تقویت شده، میزان اثر اندازه افزایش می‌یابد. برای مثال در نمونه‌های تقویت شده با عرض ورق بارگذاری ثابت، با افزایش عمق تیر DB400-P0.5-S45-C24.8 تا ۱۰۰۰mm، مقاومت نرمالیزه شده ۳۲٪ کاهش یافت. در حالی که میزان کاهش مقاومت نرمالیزه شده در نمونه‌های با عرض ورق متغیر حدود ۱۲٪ است و این امر نشانگر ۲۰٪ افزایش در اثر اندازه نسبت به نمونه تقویت نشده است. بدین ترتیب در نمونه‌های فاقد تقویت CFRP نیز افزایش اثر اندازه مشاهده شد. علت این امر را می‌توان در تأثیر عرض ورق بارگذاری بر هندسه نواحی فشاری و گرهی تیر عمیق عنوان کرد؛ شکل‌های (۱۱ تا ۱۴) نمودار مقاومت نرمالیزه شده نسبت به عمق تیر عمیق آمده است. همچنین برای هر نمودار، یک تابع برازش به صورت توانی ارائه شده است و توان تابع نشانگر قدرت اثر اندازه می‌باشد. محور قائم نمودار، مقاومت نرمالیزه شده بوده و کمیتی بدون بعد است.

شکل ۱۱. منحنی مقاومت نرمالیزه شده در برابر عمق نمونه‌های فاقد تقویت

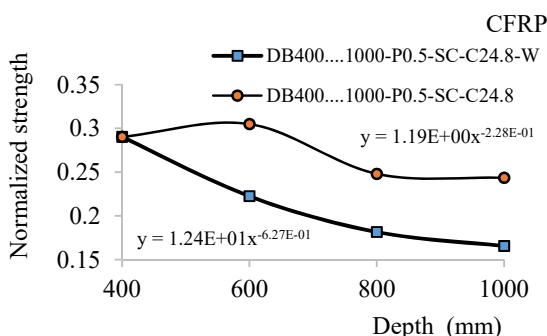


Fig. 11. The normalized strength-depth curve of specimens without CFRP strengthening

شکل ۱۲. منحنی مقاومت نرمالیزه شده در برابر عمق نمونه‌های تقویت شده

با زاویه ۹۰ درجه

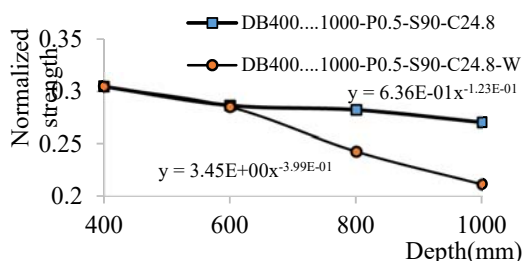


Fig. 12. The normalized strength-depth curve of specimens strengthened with 90-degree angle

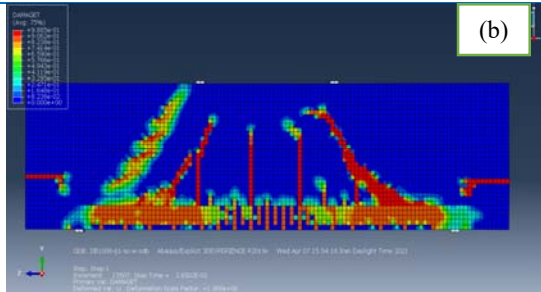


Fig. 15. The tensile damage in specimen a) DB400-P1-SC-C24.8 and b) DB1000-P1-SC-C24.8-W

شکل ۱۶. منحنی نیرو-تغییر مکان تیرهای تقویت شده با نسبت دهانه برشی به عمق مؤثر ۰/۵

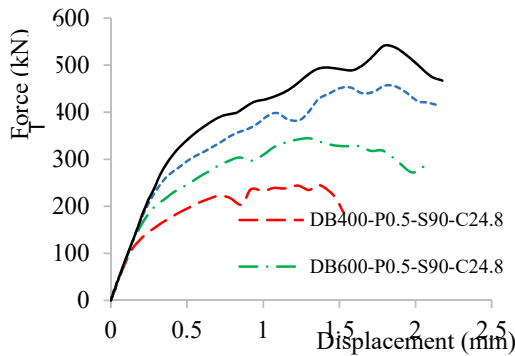


Fig. 16. The force-displacement curve of strengthened beams with shear span to effective depth ratio of 0.5

### ۷- نتیجه گیری

در این مقاله تأثیر اندازه بر رفتار تیرهای عمیق تقویت شده با CFRP مورد مطالعه و بررسی قرار گرفت. برای این منظور از نرم افزار Abaqus برای تحلیل عددی استفاده شد. در گام اول برای اطمینان از فرضیه مدلسازی عددی در تحلیل اجزاء محدود، نتایج عددی حاصل بر اساس نتایج آزمایش‌های پیشین درستی آزمایی شد. در گام بعد با داشتن پارامترهای درستی آزمایی شده، تعداد ۵۳ مدل تیر عمیق مدلسازی شده و به بررسی اثر اندازه پرداخته شد. در این مقاله همچنین به بررسی پارامترهای مؤثر در میزان اثر اندازه تیرهای عمیق مانند مقاومت فشاری بتن، عرض ورق بارگذاری، نسبت دهانه برشی به عمق مؤثر تیر و زاویه تقویت تیر با CFRP پرداخته شد. در نمودارهای مقاومت نرمالیزه شده در برابر عمق تیر، روابطی حاصل شد که با  $X^n$  متناسب است؛ به طوری که  $X$  ارتفاع تیر و  $n$  نشانگر قدرت اثر اندازه است. در ادامه نتایج حاصل از تحلیل به صورت خلاصه بیان می‌شود:

شکل ۱۳. منحنی مقاومت نرمالیزه شده در برابر عمق نمونه‌های تقویت شده با زاویه ۴۵ درجه

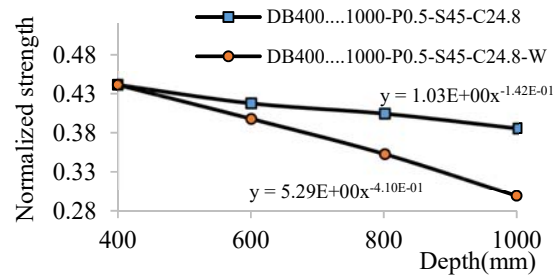


Fig. 13. The normalized strength-depth curve of specimens strengthened with 45-degree angle

شکل ۱۴. منحنی مقاومت نرمالیزه شده در برابر عمق تیرهای با نسبت دهانه برشی به عمق مؤثر ۱

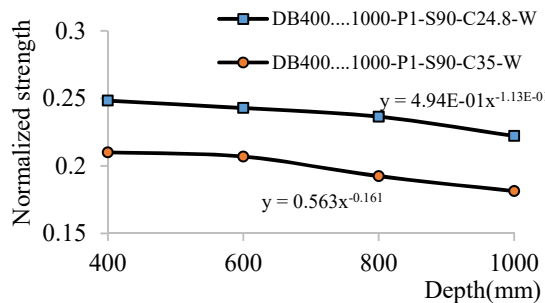
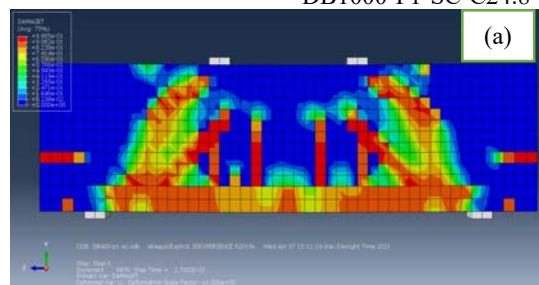


Fig. 14. The normalized strength-depth curve of beams with shear span to effective depth ratio of 1

### ۶-۵- رفتار تیرهای عمیق

در شکل (۱۵) با افزایش عمق تیر عمیق، طول محدوده ترک خوردگی خمشی و برشی در تیر افزایش یافته است. این پدیده در نمونه‌های تقویت شده با CFRP نیز صادق است. مطابق شکل (۱۶) مقاومت نیرویی برشی و تغییر مکان تیرهای عمیق با افزایش اندازه تیر افزایش یافت. همچنین نیروی شروع رفتار غیرخطی تیر عمیق با افزایش اندازه تیر افزایش یافته است.

شکل ۱۵. خرابی کششی در نمونه (a) DB400-P1-SC-C24.8 و (b) DB1000-P1-SC-C24.8-W



- ۱- تقویت نمونه‌ها با CFRP منجر به افزایش مقاومت برشی و همچنین تغییر مکان نهایی شد. از طرفی با افزایش عمق تیر عمیق، مقاومت نیرویی افزایش و مقاومت برشی نرمالیزه شده کاهش یافت.
- ۲- تقویت تیر عمیق با CFRP، موجب کاهش شدت اثر اندازه شده است؛ اما این اثر به طور کامل خنثی نشد. به طوری که مقاومت نرمالیزه شده نمونه‌های کنترل با نسبت دهانه برشی به عمق ۰/۵ با  $X^{-0.228}$  و نمونه‌های تقویت شده با زاویه ۹۰ درجه با  $X^{-0.123}$  متناسب است و این امر می‌تواند ناشی از افزایش طول مهاری مؤثر نوار CFRP به ازای افزایش اندازه تیر باشد.
- ۳- تقویت تیر عمیق با زاویه ۴۵ درجه نیز منجر به کاهش اثر اندازه شد؛ به طوری که مقاومت نرمالیزه شده نمونه‌های فاقد تقویت با  $X^{-0.228}$  و نمونه‌های تقویت شده با زاویه ۴۵ درجه با  $X^{-0.142}$  متناسب است. این امر در نمونه‌های با عرض ورق بارگذاری ثابت نیز صادق است.
- ۴- با افزایش دهانه برشی در تیر عمیق، اثر اندازه کاهش و تغییر شکل نهایی تیرها افزایش یافت؛ از طرفی به تدریج CFRP توان خود را برای کاهش اثر اندازه تیر عمیق از دست داد.
- ۵- با افزایش مقاومت فشاری بتن تیر عمیق از  $24/8 \text{ MPa}$  تا  $35 \text{ MPa}$ ، اثر اندازه تیرهای تقویت شده ۴٪ افزایش پیدا کرد؛ به طوری که مقاومت برشی نرمالیزه شده در نمونه‌های تقویت شده با مقاومت فشاری  $24/8 \text{ MPa}$  با  $X^{-0.11}$  و نمونه‌های تقویت شده با مقاومت فشاری  $35 \text{ MPa}$  با  $X^{-0.161}$  متناسب است.
- ۶- مانند تحقیقات پیشین، ثابت نگه داشتن عرض ورق بارگذاری منجر به تشدید اثر اندازه در تیرهای عمیق شده است. به عنوان نمونه مقاومت برشی نرمالیزه شده در نمونه‌های تقویت شده با زاویه ۴۵ درجه و عرض ورق بارگذاری متغیر با  $X^{-0.142}$  و نمونه‌های دارای عرض ورق بارگذاری ثابت با  $X^{-0.410}$  متناسب است. با این حال استفاده از نوار یا ورق تقویتی موجب کاهش اثر اندازه ناشی از این پارامتر شد.
- ### ۸- منابع
- [1] ACI Committee. ACI 318-19: Building Code Requirements for Structural Concrete and Commentary. American Concrete Institute: Farmington Hills, MI, USA. 2019.
- [2] Li W, Leung CK. Shear span–depth ratio effect on behavior of RC beam shear strengthened with full-wrapping FRP strip. Journal of Composites for Construction. 2016 Jun1;20(3):04015067.
- [3] Arabzadeh A, Karimizadeh H. Experimental study of RC deep beams with opening and FRP composites installed by means of EBR and EBROG methods. Construction and Building Materials. 2019 May 30; 208:780-91.
- [4] Zhang N, Tan KH. Size effect in RC deep beams: Experimental investigation and STM verification. Engineering Structures. 2007 Dec 1;29(12):3241-54.
- [5] Arabzade A, Noori Soola A. Investigating Effective Parameters in Shear Strength of Deep Beams without Shear Reinforcement. Concrete Research. 2015 Feb 20;7(2):17-30(In Persian).
- [6] El-Sayed AK, Shuraim AB. Size effect on shear resistance of high strength concrete deep beams. Materials and Structures. 2016 May;49(5):1871-82.
- [7] Chen H, Yi WJ, Ma ZJ. Shear size effect in simply supported RC deep beams. Engineering Structures. 2019 Mar 1; 182:268-78.
- [8] ABAQUS Inc. ABAQUS/Theory User manual, version 6.11, 2011.
- [9] Kupfer H, Hilsdorf HK, Rusch H. "Behavior of concrete under biaxial stresses". In Journal proceedings 1969 Aug 1; Vol. 66, No. 8, pp. 656-666.
- [10] Lim JC, Ozbakkaloglu T. Stress-strain model for normal and light-weight concretes under uniaxial and triaxial compression. Construction and Building Materials. 2014 Nov 30; 71:492-509.
- [11] Jansen DC, Shah SP. Effect of length on compressive strain softening of concrete. Journal of Engineering Mechanics. 1997 Jan; 123(1): 25-35.
- [12] Matamoros AB, Wong KH. "Design of simply supported deep beams using strut-and-tie models". Structural Journal. 2003 Nov 1; 100(6): 704-712.
- [13] Cornelissen H, Hordijk D, Reinhardt H. Experimental determination of crack softening characteristics of normal weight and lightweight. Heron. 1986;31(2):45-6.
- [14] Bažant ZP, Becq-Giraudon E. Statistical prediction of fracture parameters of concrete and implications for choice of testing standard. Cement and concrete research. 2002 Apr1;32(4):529-56.
- [15] Nayal R, Rasheed HA. Tension stiffening model for concrete beams reinforced with steel and FRP bars. Journal of Materials in Civil Engineering. 2006 Dec; 18(6): 831-841.
- [16] Obaidat Y. Structural retrofitting of concrete beams using FRP-debonding issues. Lund University; 2011.
- [17] Benzeggagh ML, Kenane MJ. Measurement of mixed-mode delamination fracture toughness of unidirectional glass/epoxy composites with mixed-mode bending apparatus. Composites science and technology. 1996 Jan 1; 56(4): 439-49.
- [18] Alsadat Asghari A, Tabrizian Z, Hossein Ali Beigy M, Ghodrati Amiri G, Navayineya B. An experimental study on shear strengthening of RC lightweight deep beams using CFRP. Journal of Rehabilitation in Civil Engineering. 2014 Aug 1;2(2):9-19.
- [19] Monti G, Renzelli M, Luciani P. "FRP adhesion in uncracked and cracked concrete zones". In Fiber-Reinforced Polymer Reinforcement for Concrete Structures:(In 2 Volumes) 2003; 183-192.

## Size effect on the behavior of reinforced concrete deep beams strengthened with CFRP

Abolfazl Arabzade<sup>1\*</sup>, Armin Alibakhshi<sup>2</sup>

\*1. Associate professor, University of Tarbiat Modares, Tehran, Iran

2. M.Sc. Student, University of Tarbiat Modares, Tehran, Iran

\* arabzade@modares.ac.ir

### Abstract:

Deep beams are members considered to have span to depth ratio less than 4. These beams are widely used in different sorts of structures including dams, reservoirs, silos, caissons and high-rise buildings. The cracking mode of deep beams is mainly dependent on their boundary conditions. Due to the rule of shear failure, deep beams are designed against shear. So, strengthening and repairing these beams has always been important to improve shear resistance. One of the applied methods is the use of CFRP fibers for repairing and strengthening deep beams. These fibers can be fabricated in the form of strips, sheets and rebars. Due to the constructional limitations, CFRP strips are frequently installed on the external surface of beams. For this reason, the failure of strengthened beams coincides with debonding of CFRP strips. The former experiments indicate that strengthening deep beams with CFRP strips is useful for improving their behavior. These experiments also indicated that parameters including strengthening angle, shear span to depth ratio and the method of CFRP installation can affect the strength increment due to CFRP. One of the other remarkable parameters that affects the behavior of reinforced concrete beams is size effect. This parameter matters when the geometry of struts and nodal zones remains slender in deep beams. To assess the intensity of size effect in deep beams, the force strength of beam must be normalized based on the compressive strength of concrete and the beams sections area. This study was conducted to investigate the effect of CFRP strengthening on the size effect on deep beams. It was aimed to use explicit dynamic analysis method in Abaqus software so as to model and analyze 53 CFRP-strengthened deep beams with evaluation of previous experiments. In this method, due to the absence of excessive iterations within each analysis step, the number of analysis steps is increased. The so-called method is also appropriate for simulating quasi static models. To reach the purpose of study, the specimens of three different experiments were modeled and analyzed to evaluate the assumptions of numerical modeling. After the evaluation conditions were satisfied, 53 deep beams were modeled in Abaqus software. The specimens were subjected to two incremental point loads and were divided into four-member groups with depths of 400 mm, 600 mm, 800 mm and 1000 mm. The beams shear span to effective depth ratios are 0.5, 1 and 1.5; The compressive strength of concrete also varied from 24.8 MPa to 35 MPa. Since changing the width of deep beams does not affect the intensity of size effect, the beams width was considered constant and equal to 80 mm. The results of the study indicate that strengthening deep beams with CFRP strip or sheet is suitable for reducing the size effect; In addition, increasing compressive strength of concrete and keeping the loading plate constant can amplify size effect of deep beam. Increasing shear span to effective depth ratio of beam caused the size effect to be decreased. Strengthening deep beams with both angles of 45 and 90 degrees was appropriate for decreasing deep beams size effect.

**Keywords:** Deep beams, numerical modeling, Size effect, CFRP, reinforced concrete